

플라즈마 풍동의 노즐-디퓨저 시스템 수치해석 및 스타팅 특성 분석

Numerical Analysis on Flow and Starting Characteristics of

Nozzle-Diffuser System of Plasma Wind Tunnel

최대산* (주)넥스트폼, wooang7031@nextfoam.co.kr, 백진솔, 김규홍 (서울대학교)



연구 배경

❖ 플라즈마 풍동

- 극초음속/고엔탈피 유동 모사를 위한 지상 시험 장치
- 삭마, 재진입, 스크램제트 등 연구 활용
- 플라즈마 제너레이터, 노즐, 시험부, 디퓨저, 열교환기, 이젝터, 진공펌프 등으로 구성

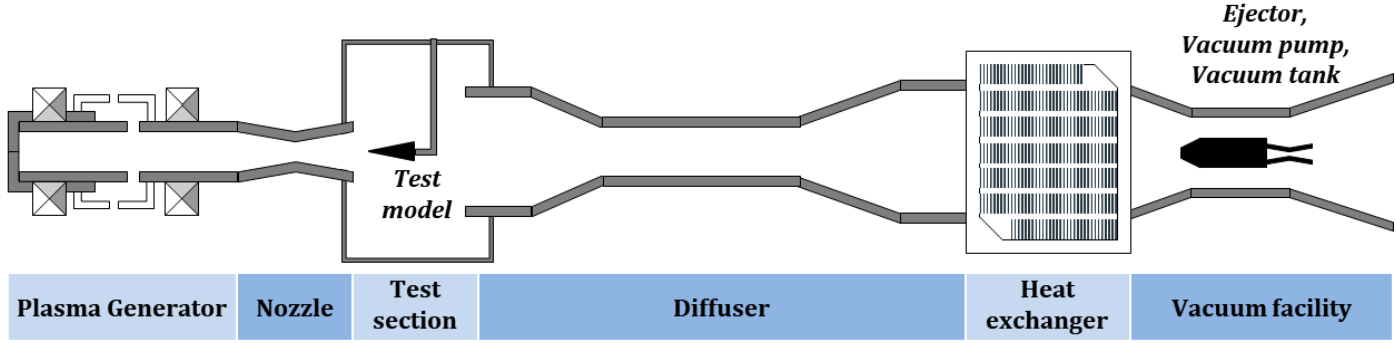


Fig. 1. Schematic of a plasma wind tunnel

- 풍동 전후 높은 압력비 [1], 길고 연속적인 시험 시간 [2] (삭마), 저 레이놀즈수 특성 [1, 3]

Table. 1. Difference between general SWT and PWT

압력비	시험시간	레이놀즈 수 ($Re_D = \frac{\rho_\infty V_\infty D}{\mu_\infty}$)
초음속풍동	$10^0 \sim 10^2$	$10^0 \sim 10^2$ 초
플라즈마 풍동	$10^2 \sim 10^3$	$10^1 \sim 10^4$ 초

($Re_D = \frac{\rho_\infty V_\infty D}{\mu_\infty}$)

초음속풍동 $10^0 \sim 10^2$ 초 $10^5 \sim 10^7$

플라즈마 풍동 $10^2 \sim 10^3$ $10^1 \sim 10^4$ 초 $10^2 \sim 10^5$ (본 연구 2×10^4)

❖ 플라즈마 풍동 노즐-디퓨저 시스템

- 노즐 : 높은 온도로 가열된 공기를 극초음속으로 가속
- 디퓨저
 - 노즐로부터 분출된 유동을 흡입, 유동의 시험부 누출 방지, 후류의 교란 차단
 - 극초음속 유동을 아음속으로 감속 → 전압력 손실 최소화, **높은 수준의 압력회복 달성**

❖ 연구 목표

- 플라즈마 풍동 관련 연구
 - 초음속 풍동에 비해 연구가 충분하지 않고, 기존 설비들의 정보도 접근이 제한적
 - 주요 이슈 중 하나는 풍동의 운용 배압 예측, 언스타팅(unstarting) 문제 [4, 5]
- 연구 목표
 - 내부 유동 특성을 고려한 플라즈마 풍동 노즐-디퓨저 시스템 유동 해석
 - 배압에 따른 유동 특성 관찰, 시동 특성 확인
 - 추후 설계 연구 등에 활용, 기초연구

[1] R. Savino et al., Behaviour of hypersonic wind tunnels diffusers at low Reynolds numbers, *Aerospace Sci. Technol.* 3, No. 1 (1999) 11–19.
[2] R.S. Pugazhenthi et al., Design and performance analysis of a supersonic diffuser for plasma wind tunnel, *World Acad. Sci. Eng. Technol.* 5: 8-24 (2011) 1450–1455.
[3] R. Monti et al., Low-Reynolds number supersonic diffuser for a plasma-heated wind tunnel, *Int. J. Therm. Sci.* 40, No. 9 (2001) 804–815.
[4] P.W. Agostinelli et al., Investigation of hypersonic flow in the VKI H3 wind tunnel: from facility characterization to boundary-layer interaction over low-temperature ablators, 23rd AIAA International Space Planes and Hypersonic Systems and Technologies Conference, 2020.
[5] P.W. Agostinelli et al., Aerothermodynamic analyses and redesign of G.H.I.B.L.I. Plasma Wind Tunnel hypersonic diffuser, *Aerospace Sci. Technol.* 87 (2019) 218–229.

해석 결과 및 분석 (1)

❖ 내부 유동 특성

- (노즐) 유동 팽창 → (시험부) 고마하수 → (디퓨저) 일련의 충격파 → 종말 충격파 이후 아음속
- 전반적으로 마하수는 감소, 전압력은 상승, 전압력은 급격히 소실

• 디퓨저의 최대 회복 가능한 압력은 디퓨저 출구에서 전압력으로 상단이 제한

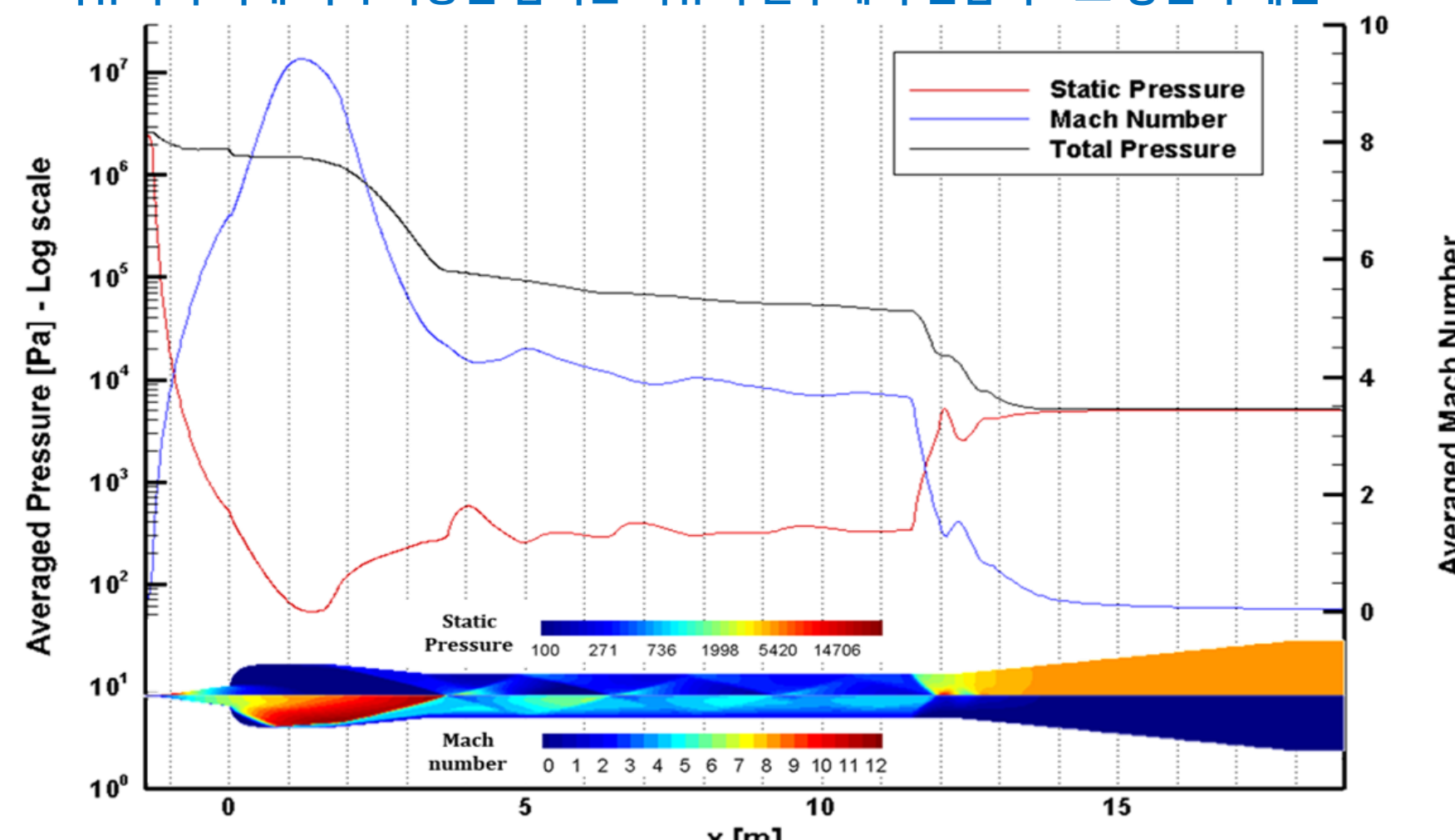


Fig. 3. Calculation domain and boundary condition

❖ 배압에 따른 스타팅 특성

- 배압에 따른 유동 분포
 - 풍동의 스타팅을 위해서는 일정 수준 이하의 낮은 배압 필요
 - 배압 감소 → 풍동 스타팅 → 배압 증가 시 동일 배압에서 상이한 솔루션 영역 존재

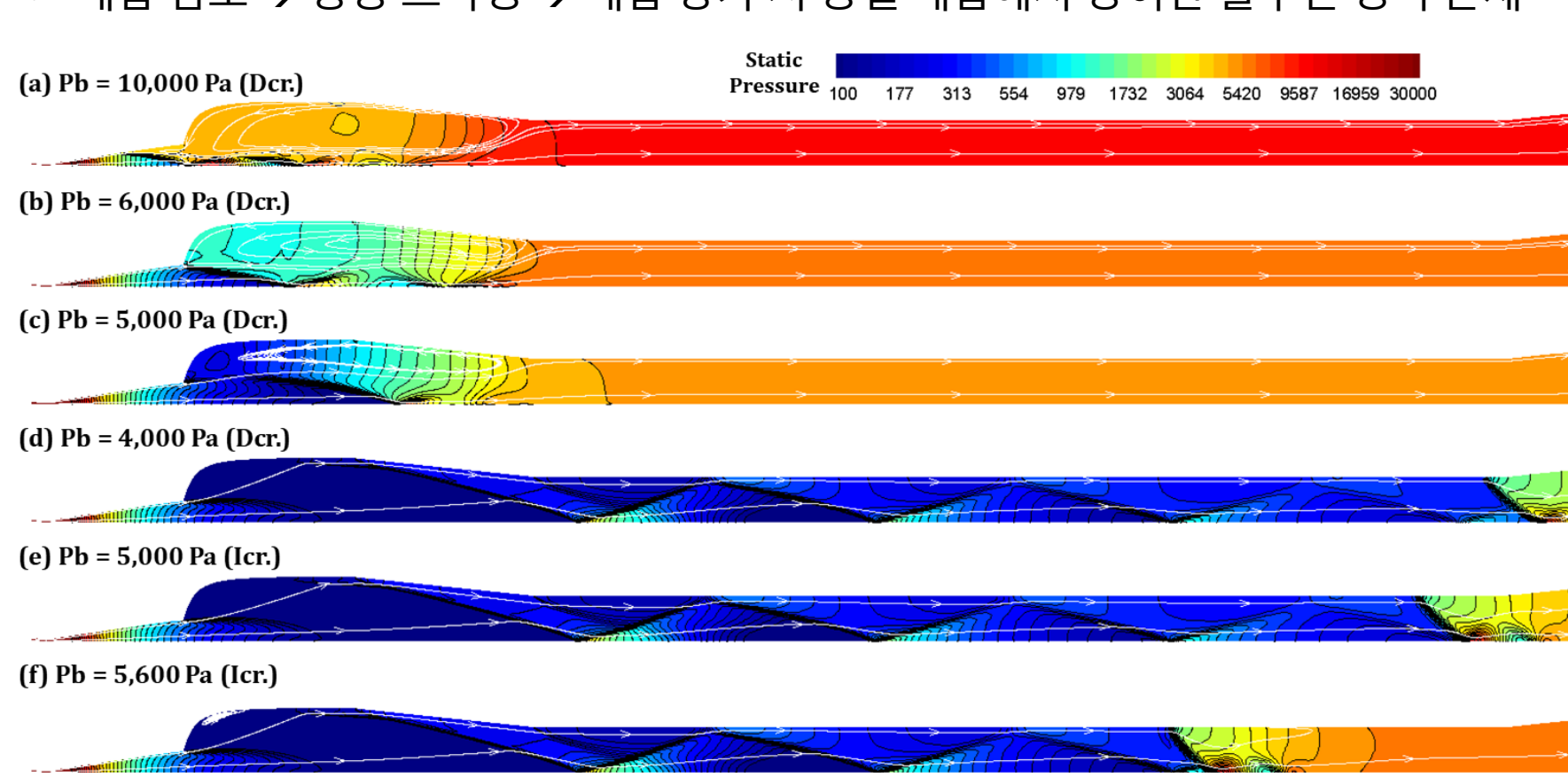


Fig. 4. Pressure distribution at different back-pressure

연구 방법

❖ 수치해석 방법

- 지배방정식 : Axisymmetry Reynolds Averaged Navier Stokes (RANS) Equation

$$\begin{aligned} Q &= \begin{bmatrix} \rho \\ \rho u \\ \rho v \\ \rho E \end{bmatrix}, E = \begin{bmatrix} \rho u^2 + p \\ \rho uv \\ \rho v^2 + p \\ (\rho e_t + p)u \end{bmatrix}, F = \begin{bmatrix} \rho v \\ \rho uv \\ \rho v^2 + p \\ (\rho e_t + p)v \end{bmatrix}, E_v = \begin{bmatrix} 0 \\ \tau_{xx} \\ \tau_{xy} \\ u\tau_{xx} + v\tau_{xy} - q_x \end{bmatrix}, F_v = \begin{bmatrix} 0 \\ \tau_{xy} \\ \tau_{yy} \\ u\tau_{xy} + v\tau_{yy} - q_y \end{bmatrix}, H = \frac{1}{y} \begin{bmatrix} \rho u \\ \rho uv \\ \rho v^2 \\ (\rho e_t + p)v \end{bmatrix}, H_v = \begin{bmatrix} 0 \\ (h_v)_2 \\ (h_v)_3 \\ (h_v)_4 \end{bmatrix} \\ (h_v)_2 &= \tau_{xy} - \frac{2}{3} \frac{\partial}{\partial x} \left(\mu \frac{v}{y} \right), (h_v)_3 = \tau_{yy} - \tau_{\theta\theta} - \frac{2}{3} y \frac{\partial}{\partial y} \left(\mu \frac{v}{y} \right), (h_v)_4 = u\tau_{xy} + v\tau_{yy} + \frac{\mu}{Pr(\gamma-1)} \frac{\partial T}{\partial y} - \frac{2}{3} y \frac{\partial^2}{\partial y^2} \left(\mu \frac{v^2}{y} \right) - \frac{2}{3} y \frac{\partial}{\partial y} \left(\mu \frac{v^2}{y} \right) \\ \tau_{ij} &= \mu \left(\frac{\partial u_i}{\partial x_j} + \frac{\partial u_j}{\partial x_i} \right) - \frac{2}{3} \mu \left(\frac{\partial u_k}{\partial x_k} \right) \delta_{ij}, \quad \begin{cases} i = x, y \\ j = x, y \end{cases}, \quad \tau_{\theta\theta} = \mu \left[-\frac{2}{3} \left(\frac{\partial u}{\partial x} + \frac{\partial v}{\partial y} \right) + \frac{4}{3} \frac{v}{y} \right], \quad q_i = -k \frac{\partial}{\partial x_i} \end{aligned}$$

- 공기 모델링

- 내부 온도 분포 ~ 2,500 K, **vibrational excitation, chemical reaction** 고려 필요

- 공기의 열적·화학적 평형 가정 → 기 구축된 평형 테이블 활용, Data-fit correation [6, 7]

$$\tilde{\gamma} = \tilde{\gamma}(\rho, T) = \tilde{\gamma}(\rho, p) \quad p = p(e, \rho) = \rho e (\tilde{\gamma} - 1) \quad T = T(p, \rho) \quad h = h(p, \rho) = \frac{p}{\rho} \left(\frac{\tilde{\gamma}}{\tilde{\gamma} - 1} \right)$$

$$\mu = \mu(p, T) \quad k = k(p, T) \quad Pr = Pr(p, T)$$

- 난류 모델링 – standard k-epsilon turbulence 모델

- 디퓨저 해석, Wall bounded internal flow 해석 적합 [2]

- 수치기법

- 대류항 차분 AUSMPW+, 점성항 차분 Central, TVD(minmod), LU-SGS

❖ 해석 조건

- 해석 격자 (정렬격자, 1510 X 91) : 마하 7 노즐 – 시험부 – 디퓨저 구성

- NASA Langley 마하 6 저기조 조건 (MW 급) [8] : $P_0 = 28.6$ bar, $T_0 = 2,216$ K

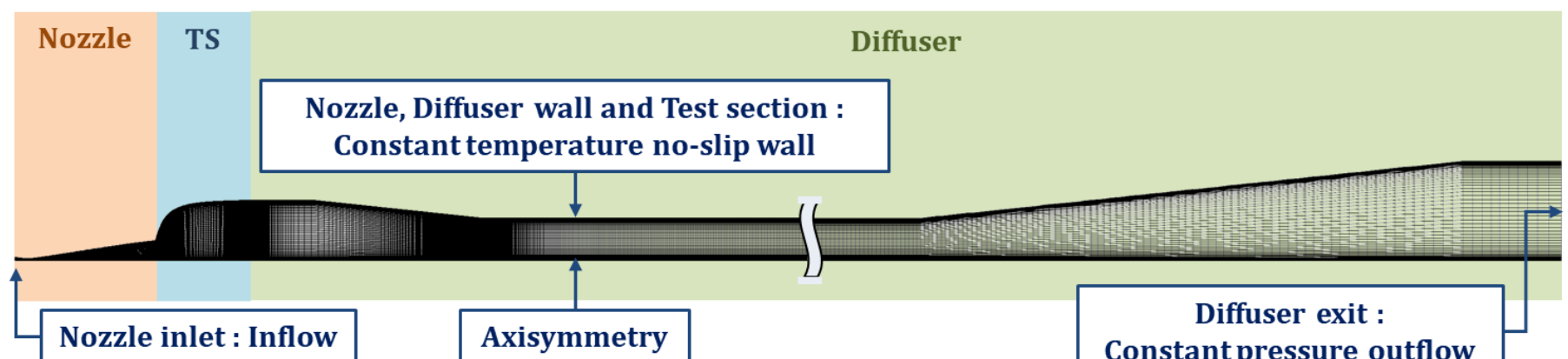


Fig. 2. Calculation domain and boundary conditions

해석 결과 및 분석 (2)

- 이력(Hysteresis) 현상 관찰

- 현재의 상태가 이전의 상태에 의존하는 현상 (history-dependent)

• 스타팅 전후로 이력 현상 발생

- 배압을 통한 압력비 → 유동의 전압력 손실 상승

- 초기 충격파가 삼겨지면 (스타팅 이후), 전압력 손실 측면에서 유리

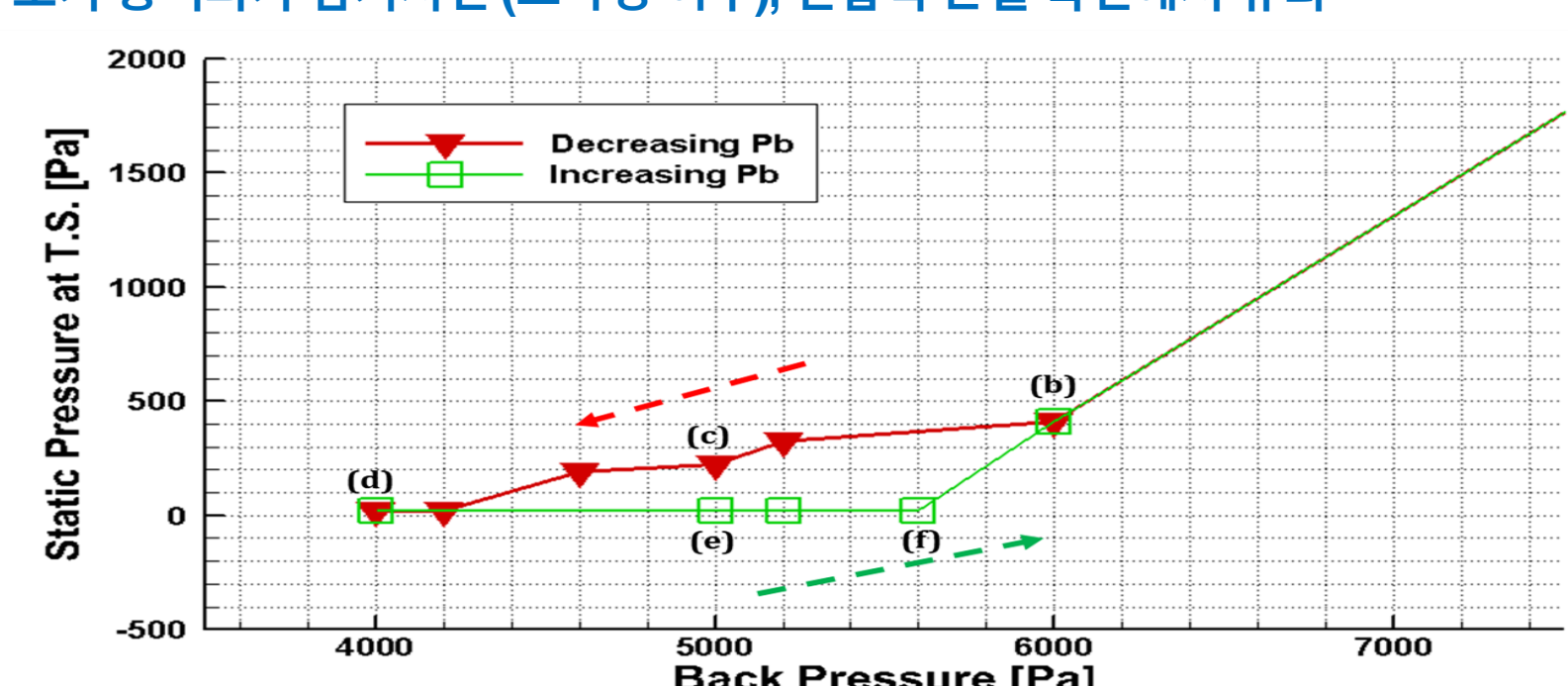


Fig. 4. Static pressure at test section ($x=0.5$ m) with different history of back-pressure applied

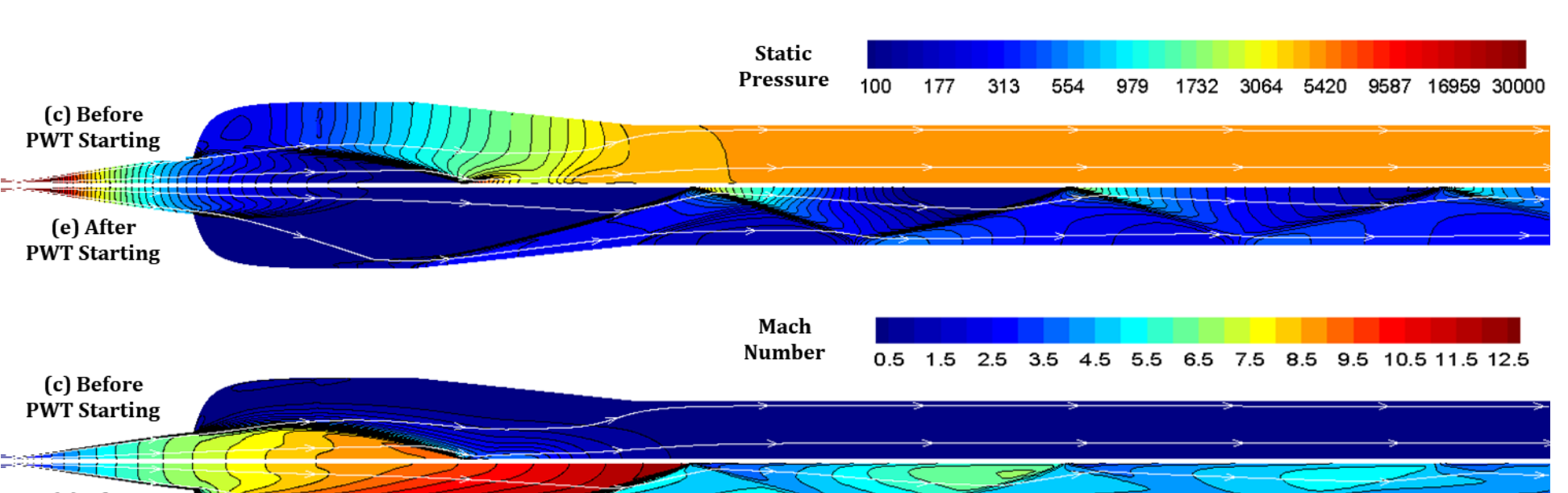


Fig. 5. Different pressure and Mach number distribution at back-pressure of 5,000 Pa

결론 및 후속 연구

❖ 결론

- 내부 유동 특성을 고려하여 노즐-디퓨저 시스템 해석을 수행
- 노즐에서 디퓨저 출구에 이르기까지 **유동의 전압력은 급격히 손실**
- 배압에 따라 종말충격파 위치가 변화 / 스타팅 여부가 결정되고, **이력 현상이 관찰됨**

❖ 후속 연구

- 프로즌 / 평형 / 비평형 공기모델에 따른 솔루션 차이 분석 / 해석 시간 비교
- 초기 스타팅을 고려한 풍동 설계